症例報告

腫瘍破裂による腹腔内出血で発症した肝血管筋脂肪腫の1例

関西電力病院外科, 天理よろづ相談所病院腹部一般外科¹⁾, 同 臨床病理部², 八尾総合病院外科³

 栗根
 雅章
 内藤
 雅人¹⁾
 松末
 智¹⁾

 本庄
 原²⁾
 小橋陽一郎²⁾
 前田
 浩晶³⁾

症例は48歳の女性で、突然の右季肋部痛のため当院を受診した。CT にて肝 S8 に径 6cm の腫瘤を認め、腹腔内に中等量の液体貯留を来していたことより腹腔内出血を来していたと考えられた。腫瘍は造影 CT で動脈性早期濃染を伴い、MRI では T1 強調画像で低信号、脂肪抑制 T2 強調画像で高信号であり典型的ではないが肝癌と診断した。待期的に肝部分切除を行った。病理組織学的検査では類上皮細胞のみからなる充実性、類洞状増殖を認め肝細胞癌類似の所見であったが、HMB-45 陽性であることから肝血管筋脂肪腫と診断された。肝血管筋脂肪腫は血管、平滑筋、脂肪の成分をさまざまな割合で含むまれな良性腫瘍である。その多様性のため、画像・病理の診断が困難なことがある。肝血管筋脂肪腫の破裂は極めてまれであるが、術前診断が困難であること、悪性化の可能性があることなどからも、病態によっては切除の適応とすべきである。

はじめに

肝血管筋脂肪腫(angiomyolipoma;以下, AML と略記)はまれな良性間質性肝腫瘍である.血流豊富な腫瘍で腫瘍内出血が多いとされるが、自然破裂は極めてまれである¹⁾.今回,我々は破裂による腹腔内出血で発症した肝 AML の 1 切除例を経験したので,若干の文献的考察を交えて報告する.

症 例

症例:48歳,女性 主訴:右季肋部痛

既往歴:特記すべきものなし. 結節性硬化症なし.

家族歴:特記すべきものなし.

現病歴:2006年初め頃より慢性肝障害として 内科で経過観察されていたが、画像診断などはな されていなかった。同年4月末、突然右季肋部の 激痛を生じ救急受診。腹部超音波にて中等量の腹 水を認めたが、出血源となるような病巣は描出さ れなかった。バイタルサインは安定しており、鎮

<2009 年 11 月 18 日受理> 別刷請求先: 栗根 雅章 〒553-0003 大阪市福島区福島 2-1-7 関西電力病院外科

痛剤にて腹痛は軽快したため一旦帰宅させた. 4 日後に腹部 CT を施行したところ肝 S8 の腫瘤と 腹腔内出血を指摘された. 肝腫瘍からの出血が疑 われたが, 症状が消失しており, また入院待機患 者が多かったために, 約6週間後に待期的に精査 加療目的に入院となった.

入院時現症:身長 162cm, 体重 64kg, 体温 36.6 度. 眼球結膜に黄疸なく, 眼瞼結膜に貧血を認め なかった. 腹部は平坦, 軟で圧痛を認めず. 肝腫 大, 腹部腫瘤なし.

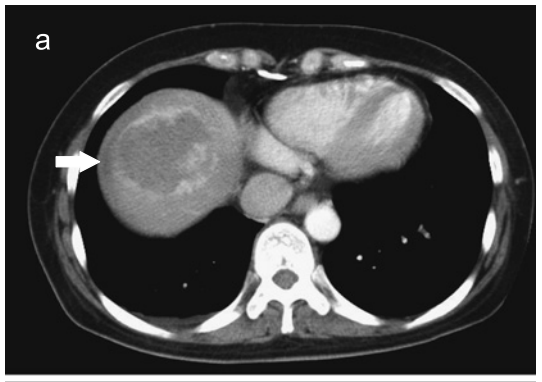
入院時血液生化学的検査所見:腹痛発作時のヘモグロビンは 11.2g/dl と正常下限であったが,入院時は症状の回復とともに 14.2g/dl に改善していた.AST 72U/l,ALT 91U/l と軽度の肝酵素上昇を認めたが,肝炎ウイルス関連の抗原,抗体はいずれも陰性であった.AFP,PIVKA-II,CEA,CA19-9 はいずれも正常範囲内であった.

腹部超音波検査:腹痛発作時にはダグラス窩に中等量の腹水を認めたが、入院後の再検時には腹水は認められなかった。肝 S8 に 40mm 大の境界不明瞭なやや高エコーを呈する腫瘤を認めた.

腹部 CT:腹痛発作の 4日後に撮影した CT で

2010年7月 35(725)

Fig. 1 Contrast enhanced computed tomography obtained 4days after abdominal pain showed exophitic liver mass approximately 6cm in diameter at segment 8 (a). Relatively high density fluid collection at right subphrenic space (a, arrow) and Douglas' pouch (b, arrow) suggested tumor rupture and hemoperitoneum at first presentation.

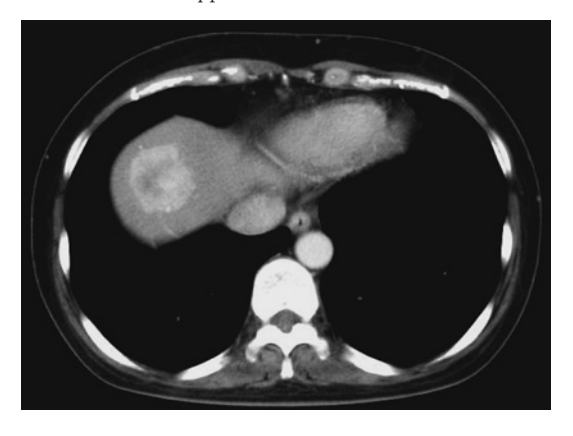




は、肝 S8 に不均一に造影される肝外に突出した 径約 6cm の腫瘤を認め、右横隔膜下とダグラス窩 に液体貯留を認めた(Fig. 1a, b). 入院時の CT では、同腫瘍は造影にて早期から全体に濃染し、 後期相や平衡相ではほぼ肝臓と等〜低吸収値と なった. 腹腔内の液体貯留はなく、また腫瘤径も やや縮小していたことから、腹痛時は腫瘍内出血 と破裂による腹腔内出血を来していたと考えられ た(Fig. 2).

腹部 MRI: 肝 S8 の腫瘤は T1 強調画像にて低信号, 脂肪抑制 T2 強調画像にて高信号に描出された. また, T2 強調画像では中心部に楔状の低信号帯が混在していた (Fig. 3).

Fig. 2 Enhanced computed tomography taken 6 weeks later: The liver mass exhibited diffuse enhancement and reduced size (approximately 4cm) compared to the previous study. The hemoperitoneum was disappeared.



18F Fluorodeoxy-glucose positron emission tomography(以下, FDG-PET と略記): 肝腫瘍部や他の部位には有意の FDG の集積を認めなかった.

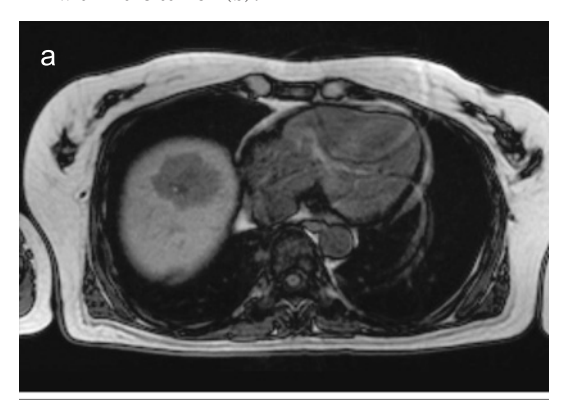
以上の画像検査所見から、肝細胞癌(Hepatocellular carcinoma;以下、HCCと略記)が疑われたが確定的な所見ではなく、血管腫や Fibrolamellar HCC、肝血管外皮腫なども鑑別診断にのぼった。 肝炎ウイルス陰性、alpha fetoprotein、PIVKA-IIが正常範囲内であることも HCCとしては非典型的であった。しかしながら、破裂を来す肝腫瘍としては HCC の可能性が高いと考えられたため、外科的切除を行った。

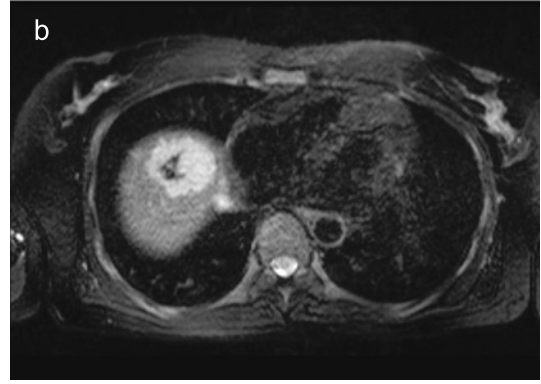
手術所見:肝臓は肉眼的に正常であり,腹水や播種性病変は認めなかった.肝 S8 表面に腫瘍を認め,横隔膜との軽度の癒着が見られたが,横隔膜への直接浸潤はなかった.肝 S8 切除を行い腫瘍を摘出し.癒着した横隔膜も合併切除した.

摘出標本肉眼検査所見:肝腫瘍は被膜形成のない4.5×4.0×2.5cmの暗赤色の柔らかい腫瘤であり、表面を覆う漿膜は破れていた(Fig. 4).

病理組織学的検査所見:腫瘍と周囲肝組織との 境界はやや不明瞭で、浸潤性の発育を認めた.腫 瘍を覆う漿膜は病理組織学的にも破れていること を確認した.腫瘍の内部には好酸性顆粒状の胞体

Fig. 3 Magnetic resonance imaging showed low intensity mass in T1-weighted image (a). A high intensity mass in T2-weighted image with fat suppression indicated scarcity of fatty component within the tumor (b).





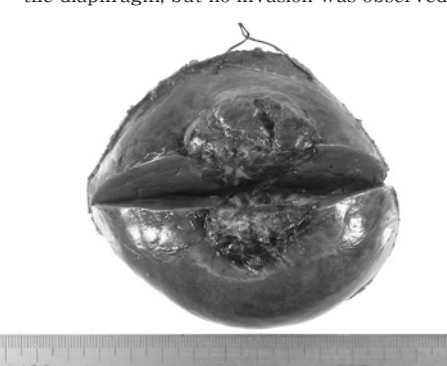
に富む類上皮細胞が充実状や類洞状に増殖していた。間質は血管性であった。HE 所見からは HCC と考えられたが、背景の肝組織がほぼ正常であるため酵素抗体法を行ったところ、類上皮細胞は HMB-45 陽性、human hepatocyte-antigen 陰性、 α -SMA は部分的に陽性であった。以上の所見から、類上皮細胞のみからなる単一型肝血管筋脂肪腫(monotypic hepatic angiomyolipoma、いわゆる PEComa)と診断された(Fig. $5a\sim c$).

術後経過は良好で、術後約2年の時点で再発の 兆候なく健在である.

老 変

AML は腎臓に好発する血管, 平滑筋, 脂肪の成分からなる間質系良性腫瘍である. 肝臓原発の AML はまれとされてきたが. 近年の画像診断の

Fig. 4 The resected specimen showed soft and dark red tumor measuring $4.5 \times 4.0 \times 2.5$ cm in size. The continuity of overlying serosa was interrupted. The exposed tumor showed fibrous adhesion to the diaphragm, but no invasion was observed.



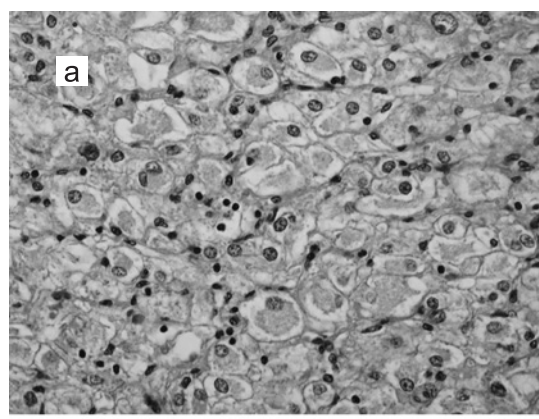
進歩により報告例が増加しつつある。肝 AML は 女性に多く(約70%),年齢は10~86歳(平均年齢50歳前後)と幅広い年齢にみられる。腎 AML は約半数以下に結節性硬化症を合併するが,肝 AML における同症の頻度は2.6~7.5%と少ない¹. 臨床症状は無症状であることが多いが,右季 肋部痛を来すこともある。

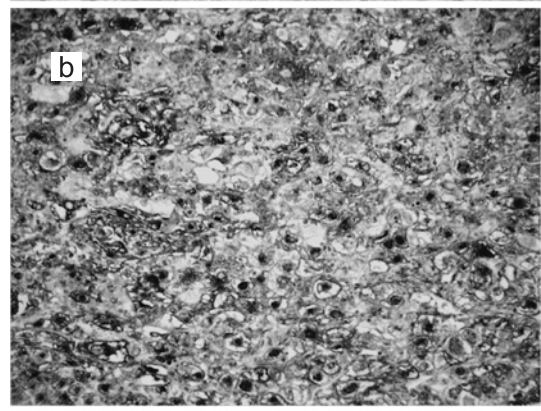
肝 AML は組織学的に極めて多彩であるため、病理組織学的診断が困難なことがあり、以前はその多くが他の肝腫瘍と誤診されていたのではないかとする報告がある²⁾. 特徴的なことは免疫組織化学法で平滑筋成分にメラノサイトマーカーである HMB-45 が陽性であり、他の腫瘍との重要な鑑別点である. 肝細胞癌と異なり背景の肝臓は多くは正常である.

肝 AML の発生由来の細胞は明らかではない. Bonetti らは血管周囲類上皮細胞(Perivascular epithelioid cell, PEC)から発生する類縁の腫瘍群を PEComa と呼ぶことを提唱した. この細胞は HMB-45 が陽性であり, ときに細胞内にメラニン顆粒を認め, 多分化能を有するとされる. 腎 AML, clear cell sugar tumor of lung, lymphangiomyomatosis などとともに, 肝 AML も広義の PEComa に含まれる³³⁴⁾. しかし, PEComa の定義はいまだ確定的ではなく, 当症例のように脂肪を含まず類上皮細胞のみからなる単一型肝 AML を肝の

2010年7月 37(727)

Fig. 5 The microscopic findings. The tumor shows solid or sinusoidal growth of epithelioid cells which have clear cytoplasm with abundant eosinophilic granules (HE staining, ×400) (a). The epithelioid cells are strongly immunoreactive for HMB-45 (b), but not for Hepatocyte antigen (c). The intermingled border between tumor (top side) and surrounding hepatic tissue (bottom side) suggests invasive growth of the tumor.







PEComa と称することもある。また一方で、Kannangai ら⁵は肝 AML の遺伝子発現 signature が 肝臓の星細胞と類似していると報告し、異なった 細胞由来を示唆する考えもある。

肝 AML は脂肪を含むことが特徴とされるに関 わらず、脂肪成分の比率が5~90%と大きく異な る6ため,画像検査所見も多彩である.一般に造影 CT. MRI では動脈性早期濃染像を呈する多血性 肝腫瘍である. MRI では T1 強調で高信号あるい は低信号, T2 で高信号を示す. 血管造影検査. CTA でも血流豊富な腫瘍として描出され、腫瘍内 に中心血管が存在し肝静脈を流出路とするという 特徴が報告されている". 脂肪成分が多い場合には 単純 CT での低 HU 値、MRI での T1 強調像での 高信号. 脂肪抑制による信号低下などの特徴的な 所見を示すが、自検例のように脂肪成分に乏しい 肝 AML では、他の多血性肝腫瘍との鑑別は困難 である. 確定診断を得るために針生検や手術によ る病理組織学的診断が必要であり、悪性腫瘍との 鑑別困難が手術の原因になっている報告が多い.

肝腫瘍における良悪性の鑑別に有用とされるFDG-PETでは、本症例では取り込みは認められなかった。この検査法の肝 AML に対する診断的意義はいまだ明らかではなく、今後の症例集積が必要である。

肝 AML は臨床的には良性と考えられてきたが、野々村®は多くの肝 AML は被膜を認めず浸潤性進展を来していると報告しており、病理学的には悪性腫瘍に類似した所見を示す。興味深いことに、近年 AML がまれに悪性の経過をとることが明らかになってきた。2000年に悪性肝 AML の初めての報告があって以来、これまでに全世界で6例が報告されており、報告例が増えつつある $^{9(\sim 11)}$ 、病理診断、画像診断の困難さなどのため、潜在的な悪性例が存在している可能性もあり、このまれな腫瘍が広く認識されるとさらに増加するかもしれない。

他方で、肝 AML では病理組織学的に腫瘍内出血が20~54% 程度に見られるとされるにかかわらず、自然破裂による腹腔内出血の報告は極めて少ない、医学中央雑誌を1983年から2008年にか

Tumor Tumor No. Author Year Age Sex Onset Treatment TSC Outcome Location size Hemorrhagic Emergency 1 Huber14) 1996 22 F 8cm Lt (S3) yes alive shock resection Upper Emergency 2 Guidi¹³⁾ 1997 74 Μ 10cm Lt (S1/5) no alive abdominal pain resection Emergency 3 Tsui2) 1999 56 Μ ND 6.5cm Rt alive no resection Hemorrhagic F 4 Kimura¹²⁾ 2003 44 ND Rt (S6) TAE alive no shock Emergency Hemorrhagic Zhou¹¹⁾ ND 5 2008 ND Rt laparotomy alive 5cm no shock for hemostasis Abdominal Elective 6 Our case 49 6cm Rt (S8) alive no pain resection

Table 1 Reported cases of spontaneously ruptured hepatic angiolipoma in the literature

TSC: Tuberous sclerosis complex ND: Not discribed

けて「肝血管筋脂肪腫」、「破裂」をキーワードとし て検索したところ、1例の症例報告のみ(会議録) であった¹²⁾. また, PubMed で「hepatic angiomyolipoma」、「rupture」をキーワードとして検索した ところ,3例の報告があった110130140.検索ではヒット しなかったが、30例の肝 AML を検討した Tsui ら²の論文では1例が腹腔内出血で発症したと記 載があり、これを併せると英文では4例である (Table 1). まれな腫瘍とされながら肝血管筋脂肪 腫の報告が近年増加していることを考えると. 破 裂による出血の頻度はやはり低いと考えられる. 腎臓の AML では異常血管が動脈瘤を形成し、後 腹膜出血を来しやすい15)ことや、肝腫瘍において 肝腺腫や肝癌の破裂による腹腔内出血がしばしば みられることと対照的である. 本症例では急激に 強い腹痛を来し、超音波検査、CT での高吸収性の 腹水の存在、標本の被膜が破れていたことなどか ら破裂による腹腔内出血と診断した. 腹痛は鎮痛 剤のみで軽快しており、出血は自然止血したと思 われる. 他の破裂の報告では、ショック状態にな るなどしたため緊急に肝切除あるいは TAE が行 われているが、予後は良好であった、破裂症例で は悪性の経過をとった報告は現在までのところな いが、当症例についても悪性の可能性も念頭にお いて経過観察をする必要がある.

当症例では、腹痛で発症してから一旦症状が消

失していたため入院までに6週間を要していた.しかし、破裂を来す肝腫瘍でもっとも頻度が高いのは悪性腫瘍である HCC であること、肝腫瘍破裂はしばしば出血性ショックを来し、再出血の場合非常に危険であることなどから、可及的すみやかな入院加療が必要である。連休中の発症であったこと、入院待ちが多かったことなどに伴う処置の遅れではあったが、大いに反省すべき点であった

肝 AML は良性であるため経過観察で良いとする考えがあるが、悪性例の存在、悪性腫瘍との鑑別診断の困難さ、自然破裂の可能性などを考慮すると、病態によっては積極的な手術的切除が必要と考えられた.

文 献

- 野々村昭孝,笠井孝彦:肝血管筋脂肪腫 臨床病 理学的立場から. Liver Cancer 12:99—109, 2006
- Tsui WM, Colombari R, Portmann BC et al: Hepatic angiomyolipoma: a clinicopathologic study of 30 cases and delineation of unusual morphologic variants. Am J Surg Pathol 23: 34—48, 1999
- Pea M, Martignoni G, Zamboni G et al: Perivascular epithelioid cell. Am J Surg Pathol 20: 1149—1153, 1996
- 4) Martignoni G, Pea M, Reghellin D et al: PEComas: the past, the present and the future. Virchows Arch 452: 119—132, 2008
- 5) Kannangai R, Diehl AM, Sicklick J et al: Hepatic

2010年7月 39(729)

- angiomyolipoma and hepatic stellate cells share a similar gene expression profile. Hum Pathol **36**: 341—347, 2005
- Goodman ZD, Ishak KG: Angiomyolipomas of the liver. Am J Surg Pathol 8: 745—750, 1984
- Zheng RQ, Kudo M: Hepatic angiomyolipoma: identification of an efferent vessel to be hepatic vein by contrast-enhanced harmonic ultrasound. Br J Radiol 78: 956—960, 2005
- 野々村昭孝:肝臓の奇異なる腫瘍 "血管筋脂肪腫" 病理組織学的分類と増生パターンについて. J Nara Med Ass 55: 1—16, 2004
- Nguyen TT, Gorman B, Shields D et al: Malignant hepatic angiomyolipoma: report of a case and review of literature. Am J Surg Pathol 32: 793—798, 2008
- Yang CY, Ho MC, Jeng YM et al: Management of hepatic angiomyolipoma. J Gastrointest Surg 11: 452—457, 2007

- Zhou YM, Li B, Xu F et al: Clinical features of hepatic angiomyolipoma. Hepatobiliary Pancreat Dis Int 7: 284—287, 2008
- 12) 木村浩二, 竹吉正文: 肝血管筋脂肪腫の自然破裂 症例に対して緊急 TAE を施行した一例. 日腹部 救急医会誌 23:372,2003
- 13) Guidi G, Catalano O, Rotondo A: Spontaneous rupture of a hepatic angiomyolipoma: CT findings and literature review. Eur Radiol 7: 335— 337, 1997
- 14) Huber C, Treutner KH, Steinau G et al: Ruptured hepatic angiolipoma in tuberous sclerosis complex. Langenbecks Arch Chir 381: 7—9, 1996
- 15) Yamakado K, Tanaka N, Nakagawa T et al: Renal angiomyolipoma: relationships between tumor size, aneurysm formation, and rupture. Radiology 225: 78—82, 2002

A Case of Hepatic Angiomyolipoma Presented with Rupture and Intraabdominal Hemorrhage

Masaaki Awane, Masato Naito¹⁾, Satoru Matsusue¹⁾,
Gen Honjo²⁾, Youichiro Kobashi²⁾ and Hiroaki Maeda³⁾
Department of Surgery, Kansai Electric Power Hospital
Department of Abdominal Surgery¹⁾ and Department of Clinical Pathology²⁾, Tenri Hospital
Department of Surgery, Yao General Hospital³⁾

A 48-year old lady followed up for elevated liver enzyme and reporting severe right hypochondralgia was found in Computed tomography (CT) to have a hepatic mass at section 8 and a relatively high-density fluid collection in the abdominal cavity. Further examination detected a hypervascular hepatic tumor at right lobe roughly compatible with hepatocellular carcinoma. Based on a diagnosis of spontaneously ruptured hepatocellular carcinoma, we conducted elective tumor resection. Histological examination showed solid epithelioid cell growth without adipose tissue. The unexpected definitive diagnosis was hepatic monotypic angiomyolipoma (AML) made because tumor cells were positive for melanocytic marker HMB-45 in immunohistochemistry. Hepatic angiomyolipoma, a rare benign tumor, consists of highly diversified blood vessel, smooth muscle, and mature adipose tissue. It is frequently misdiagnosed as malignant. Compared to renal AML, hepatic AML rupture is rare. Although this tumor is believed to have been benign, few malignant hepatic AML cases are reported. Resection should be considered in the selected cases, due to the risk of rupture and malignant potential

Key words: hepatic angiomyolipoma, spontaneous rupture, hemorrhage

(Jpn J Gastroenterol Surg 43: 724-729, 2010)

Reprint requests: Masaaki Awane Department of Surgery, Kansai Electric Power Hospital

2-1-7 Fukushima, Fukushima, Osaka, 553-0003 JAPAN

Accepted: November 18, 2009